

УДК 533.6.011.8: 535.375.5

## СВЕТОИНДУЦИРОВАННЫЕ ПОТОК ТЕПЛА И ДРЕЙФ ОДНОКОМПОНЕНТНОГО ГАЗА В КАПИЛЛЯРЕ

**И.В. Чермянинов, В.Г. Черняк, Е.А. Вилисова**

*Уральский государственный университет им. А.М. Горького  
620083, Екатеринбург, Россия*

Исследуются светоиндуцированные процессы тепло- и массопереноса однокомпонентного газа в капилляре в поле электромагнитного излучения. Анализируются поверхностный и столкновительный механизмы возникновения дрейфа газа и потока тепла в капилляре при произвольных числах Кнудсена ( $Kn$ ). Для свободномолекулярного ( $Kn \gg 1$ ) и гидродинамического ( $Kn \ll 1$ ) режимов течения получены аналитические выражения для осредненных по сечению капилляра потоков массы газа и тепла. При промежуточных числах Кнудсена проведены численные расчёты. В случае неоднородного уширения линии поглощения приведены частотные характеристики дрейфа газа и теплового потока.

### **Введение**

Явление светоиндуцированного дрейфа газа (СИД) [1] состоит в возникновении направленного потока поглощающих частиц, взаимодействующих с электромагнитным излучением и испытывающих столкновения с частицами буферного газа. Эффект СИД обусловлен селективным по скоростям возбуждением поглощающих излучение частиц (эффект Доплера) и изменением их транспортных характеристик. В безграничном объеме наличие буферного газа, относительно которого поглощающие излучение частицы тормозятся, принципиально. В ограниченных системах роль буферного газа может выполнять поверхность канала, с которой возбужденные и невозбужденные частицы взаимодействуют по-разному-поверхностный СИД [2].

В [3] впервые был предсказан так называемый столкновительный СИД, который возможен только в ограниченных системах. Суть столкновительного механизма СИД состоит в том, что вследствие различия сечений столкновений эффективные толщины кнудсеновских слоев для потоков возбужденных и невозбужденных частиц различны. В результате эти противоположно направленные потоки не компенсируют друг друга, и газ как целое сдвигается вдоль граничной поверхности.

СИД однокомпонентного газа в капилляре изучался в работах [2,4,5]. В [2,4] исследовался поверхностный СИД в режиме со скольжением и свободномолекулярном режиме соответственно. В работе [5,] изучался поверхностный и столкновительный СИД однокомпонентного газа в капилляре при произвольных числах  $Kn$ . Задача решалась на основе линеаризованных кинетических уравнений с модельным интегралом столкновений второго порядка [6]. Эти уравнения хорошо описывают либо дрейф газа, либо тепловой поток. Для описания совместного теплопереноса нужно использовать кинетические уравнения более высокого порядка.

В данной работе рассматривается не только дрейф газа в капилляре, но и светоиндуцированный теплоперенос (СИТ). Для решения задачи, в отличие от [5,], используются модельные кинетические уравнения третьего порядка, которые включают в качестве макропараметров скорость газа, тензор напряжений и тепловой поток [6]. Это позволяет рассчитать СИТ в капилляре во всем диапазоне чисел  $Kn$  и количественно уточнить результаты [5] для скорости СИД. Кроме того, использование модели третьего порядка приводит к новым результатам для частотных профилей дрейфа газа и потока тепла.

### Постановка задачи

Рассмотрим стационарное движение однокомпонентного газа в капилляре радиуса  $r_0$ , обусловленное резонансным взаимодействием газа с излучением, направленным вдоль оси капилляра  $z$ . Частицы газа предполагаются двухуровневыми, т.е. они могут находиться либо в основном состоянии  $n$ , либо в возбужденном  $m$ . Частота  $\omega$  монохроматического излучения отстроена от центра линии поглощения  $\omega_{mn}$  на величину  $\Omega = (\omega - \omega_{mn}) \ll \omega$ . Вследствие эффекта Доплера с излучением взаимодействуют лишь те частицы, проекции скорости  $\mathbf{v}$  которых на направление волнового вектора  $\mathbf{k}$  близки к резонансному значению  $v_0$ , удовлетворяющему условию  $kv_0 = \Omega$ . Поглотившие излучение частицы изменяют свои транспортные свойства, в частности, сечение столкновений. Тогда газ можно рассматривать как бинарную смесь, в которой частицы имеют одинаковые массы, но различные сечения взаимодействия. При этом обмен частицами между компонентами возможен в результате радиационного распада возбужденного уровня, столкновительных и индуцированных переходов.

При стационарных условиях в двухуровневом приближении функции распределения невозбужденных  $f_n$  и возбужденных  $f_m$  частиц удовлетворяют следующей системе кинетических уравнений [7]:

$$\begin{aligned} \mathbf{v}\nabla f_n &= -\frac{1}{2}\chi(\mathbf{v})\Gamma_m(f_n - f_m) + \Gamma_m f_m + S_n, \\ \mathbf{v}\nabla f_m &= \frac{1}{2}\chi(\mathbf{v})\Gamma_m(f_n - f_m) - \Gamma_m f_m + S_m, \\ \chi(\mathbf{v}) &= \frac{4|G_{mn}|^2\Gamma}{\Gamma_m[\Gamma^2 + (\Omega - \mathbf{k}\mathbf{v})^2]}, \quad G_{mn} = \frac{E d_{mn}}{2\hbar}. \end{aligned} \quad (1)$$

Здесь  $\Gamma_m$  - постоянная радиационного распада возбужденного уровня,  $\Gamma$  - однородная полуширина линии поглощения на переходе  $m$ - $n$ ,  $S_n$ ,  $S_m$  - интегралы столкновений,  $E$  - амплитуда электрического поля;  $d_{mn}$  - дипольный момент перехода  $m$ - $n$ ,  $\hbar$  - постоянная Планка,  $\mathbf{k}$  - волновой вектор,  $G_{mn}$  - частота Раби.

Параметр насыщения  $\chi(\mathbf{v})$ , характеризующий вероятность индуцированных переходов, пропорционален интенсивности излучения и, следовательно, в общем случае зависит от продольной координаты  $z$ , вследствие поглощения излучения газом. Однако в случае оптически тонкой среды или на сравнительно небольших расстояниях величину  $\chi(\mathbf{v})$  в первом приближении можно считать независимой от координаты  $z$ . Интенсивность излучения по сечению капилляра предполагается однородной. Длина капилляра  $L$  много больше его радиуса  $r_0$ , так что концевыми искажениями профилей газовых потоков можно пренебречь. При этих условиях функции распределения  $f_n$  и  $f_m$  не зависят от продольной координаты  $z$ .

Рассмотрим приближение упругих столкновений частиц газа со стенкой капилляра. При этом в качестве граничных условий к уравнениям (1) используем модель зеркально-диффузного отражения, согласно которой доля  $(1 - \varepsilon_i)$  частиц  $i$ -го сорта, отражается зеркально, а доля  $\varepsilon_i$  - диффузно с максвелловским распределением по скоростям:

$$f_i^+(\mathbf{v}) = \varepsilon_i f_i^s(\mathbf{v}) + (1 - \varepsilon_i) f_i^-(\mathbf{v} - 2(\mathbf{v}\mathbf{n})\mathbf{n}), \quad \mathbf{v}\mathbf{n} > 0, \quad (2)$$

$$f_i^s = \frac{n_i^s}{\pi^{3/2} \bar{v}^3} \exp\left(-\frac{v}{\bar{v}}\right)^2, \quad \bar{v} = \left(\frac{2k_B T}{m_0}\right)^{1/2}, \quad i = m, n, \quad (3)$$

где  $\mathbf{n}$  - внутренняя нормаль к поверхности капилляра; верхние индексы “+”, “s” и “-” относятся соответственно к отражённым, испущенным диффузно и налетающим на поверхность частицам;  $n_i^s$  - числовая плотность диффузно рассеянных частиц в  $i$ -ом состоянии.

Если параметр насыщения в среднем мал ( $\chi \ll 1$ ), что ограничивает возможные значения интенсивности излучения, то состояние каждого компонента газа является слабо-неравновесным. В этом случае функции распределения скоростей могут быть представлены в виде возмущенных максвелловских распределений

$$f_i(\mathbf{r}, \mathbf{v}) = f_{i0}[1 + h_i(\mathbf{r}, \mathbf{v})], \quad |h_i(\mathbf{r}, \mathbf{v})| \ll 1, \quad (4)$$

где

$$f_{i0} = \frac{n_{i0}}{\pi^{3/2} \bar{v}^3} \exp\left(-\frac{v}{\bar{v}}\right)^2, \quad i = n, m,$$

$n_{i0}$  - равновесная числовая плотность частиц в  $i$ -ом состоянии,  $h_i$  - неизвестные функции возмущения,  $\mathbf{r}$  - радиус-вектор в плоскости, перпендикулярной оси  $z$ .

Предположим, что межчастичные столкновения являются упругими, а каждая из частот  $\gamma_{ii}$  и  $\gamma_{ij}$  ( $\gamma_{ii}$ ,  $\gamma_{ij}$  - частоты столкновений частиц  $i$ -го сорта соответственно между собой и с частицами  $j$ -го сорта) много больше постоянной радиационного распада возбужденного уровня  $\Gamma_m$ . При этом в теории появляется малый параметр

$$\Gamma_m^{(i)} = \frac{\Gamma_m}{(\gamma_{ii} + \gamma_{ij})} \ll 1, \quad i, j = n, m \quad (i \neq j). \quad (5)$$

С учётом принятых предположений кинетические уравнения (1), линеаризованные относительно функций возмущения  $h_i$  (4) и параметров  $\Gamma_m^{(i)}$  (5), с использованием аппроксимирующих интегралов столкновений 3-го порядка в форме Маккормака [6] после обезразмеривания принимают следующий вид:

$$\begin{aligned} \mathbf{c}_\perp \frac{\partial h_i}{\partial \mathbf{R}} + \delta_i h_i = & c_z \delta_i \left\{ \frac{\Gamma_m^{(i)} \chi(\mathbf{v})}{2} \left( \frac{n_{j0}}{n_{i0}} - 1 \right) c_z^{-1} + 2[u_i - \varphi_{ij}^{(1)}(u_i - u_j) - \varphi_{ij}^{(2)}(H_i - H_j)] \right. \\ & + 4c_r \left[ (1 - \varphi_{ii}^{(3)} + \varphi_{ii}^{(4)} - \varphi_{ij}^{(3)}) \pi_{irz} + \varphi_{ij}^{(4)} \pi_{jrz} \right] + \frac{4}{5} \left( c^2 - \frac{5}{2} \right) \left[ (1 - \varphi_{ii}^{(5)} + \varphi_{ii}^{(6)} \right. \\ & \left. \left. - \varphi_{ij}^{(5)}) H_i + \varphi_{ij}^{(6)} H_j - \frac{5}{2} (u_i - u_j) \varphi_{ij}^{(2)} \right] \right\}, \quad (6) \end{aligned}$$

$$\begin{aligned}
 \mathbf{c} &= \frac{\mathbf{v}}{\bar{v}}, & \mathbf{c}_\perp^2 &= \mathbf{c}_r^2 + \mathbf{c}_\theta^2, & c^2 &= \mathbf{c}_\perp^2 + c_z^2, \\
 \mathbf{R} &= \frac{\mathbf{r}}{r_0}, & \delta_i &= \frac{r_0}{\bar{v}}(\gamma_{ii} + \gamma_{ij}), & \varphi_{ij}^{(n)} &= \frac{v_{ij}^{(n)}}{\gamma_{ii} + \gamma_{ij}}, & \varphi_{ii}^{(n)} &= \frac{v_{ii}^{(n)}}{\gamma_{ii} + \gamma_{ij}}, \\
 u_i &= \frac{U_i}{\bar{v}} = \pi^{-3/2} \int \exp(-c^2) \mathbf{c}_z h_i d\mathbf{c}, \\
 \pi_{irz} &= \frac{P_{irz}}{2p_i} = \pi^{-3/2} \int \exp(-c^2) c_r c_z h_i d\mathbf{c}, \\
 H_i &= \frac{q_i}{p_i \bar{v}} = \pi^{-3/2} \int \exp(-c^2) c_z (c^2 - 5/2) h_i d\mathbf{c}, \quad i, j = n, m, \quad i \neq j.
 \end{aligned} \tag{7}$$

Здесь  $\mathbf{R}$ ,  $\mathbf{c}_\perp$  - двумерные безразмерные векторы, лежащие в плоскости, перпендикулярной оси  $z$ ;  $\delta_i$  - параметр разреженности газа, обратно пропорциональный числу Кн. Выражения для частот  $v_{ij}^{(n)}$ , зависящие от вида потенциала межмолекулярных взаимодействий, приведены в [6].

Граничные условия (2) для функций возмущения  $h_i$  с учётом линеаризации (4) принимают вид:

$$\begin{aligned}
 h_i^+(\mathbf{R}_0, \mathbf{c}) &= (1 - \varepsilon_i) h_i^-(\mathbf{R}_0, \mathbf{c}) + \varepsilon_i \left( \frac{n_i^s - n_{i0}}{n_{i0}} \right), \\
 \mathbf{R}_0 &= \frac{\mathbf{r}_0}{r_0}, \quad |\mathbf{R}_0| = 1, \quad i = m, n.
 \end{aligned} \tag{8}$$

### Решение кинетических уравнений

Записав кинетические уравнения (6) в интегральной форме с учетом условий (8) и подставив полученные выражения для функций возмущения в выражения (7), получим систему интегрально-моментных уравнений для парциальных скоростей, напряжений и плотностей потоков тепла.

Эти уравнения определяют локальные значения макроскопических величин. Практический интерес представляют числовой поток (СИД) и поток тепла (СИТ), осреднённые по сечению капилляра:

$$I = n \langle U \rangle = I_n + I_m = 2\bar{v} \int_0^1 (n_n u_n + n_m u_m) R dR, \tag{9}$$

$$Q = \langle q_n \rangle + \langle q_m \rangle = 2k_B T \bar{v} \int_0^1 (n_n H_n + n_m H_m) R dR. \tag{10}$$

Для численных расчётов удобно ввести безразмерные величины  $G$ ,  $\tilde{G}$  и  $S$ ,  $\tilde{S}$ , связанные с размерными потоками, следующими соотношениями:

$$I = \frac{nr_0 \Gamma_m}{2\sqrt{\pi}} (G\chi_1 + \tilde{G}\chi_3), \quad Q = \frac{pr_0 \Gamma_m}{2\sqrt{\pi}} (S\chi_1 + \tilde{S}\chi_3), \quad \chi_k = \int_{-\infty}^{+\infty} c_z^k \chi(c_z) \exp(-c_z^2) dc_z, \tag{11}$$

В типичном для газов случае неоднородного уширения ( $\Gamma \ll k\bar{v}$ ) выражения для  $\chi_k$  могут быть представлены в виде

$$\chi_k = \frac{4\pi}{k\bar{v}} \left( \frac{\Omega}{k\bar{v}} \right)^k \frac{|G_{mn}|^2}{\Gamma_m} \exp \left[ - \left( \frac{\Omega}{k\bar{v}} \right)^2 \right]. \quad (12)$$

Для случая однородного уширения ( $|\Omega|, \Gamma \gg k\bar{v}$ ) имеем  $\chi_3 = 1.5\chi_1$ , причём

$$\chi_1 = \frac{4\sqrt{\pi}\Omega(k\bar{v})\Gamma}{\Gamma_m} \left( \frac{|G_{mn}|}{\Omega^2 + \Gamma^2} \right)^2. \quad (13)$$

Кинетические коэффициенты  $G, \tilde{G}, S$  и  $\tilde{S}$  в общем случае зависят от параметра разреженности  $\delta_n$ , коэффициентов зеркально-диффузного отражения  $\varepsilon_i$ , кинетических сечений столкновений, а также от параметров модельного потенциала молекулярных взаимодействий.

Для определения потоков (9), (10) необходимо решить систему интегрально-моментных уравнений для макроскопических скоростей, касательных напряжений и потоков тепла, которые являются уравнениями фредгольмовского типа второго рода. Воспользуемся методом Бубнова-Галёркина [8], основное достоинство которого состоит в том, что он позволяет получать достаточно точные значения усреднённых по сечению капилляра потоков (9), (10), не определяя при этом точную зависимость макроскопических величин от радиальной координаты  $R$ . Выберем последовательность координатных функций  $(1, R, R^2, \dots, R^k, \dots)$  и представим неизвестные макроскопические величины в интегральных уравнениях в виде разложений в степенные ряды по этим функциям. В  $N$ -приближении с учётом симметрии задачи примем:

$$u_i^N = \sum_{k=0}^{N-1} a_k^{(i)} R^{2k}, \quad \pi_{irz}^N = \sum_{k=1}^{N-1} b_k^{(i)} R^{2k-1}, \quad H_i^N = \sum_{k=1}^{N-1} c_k^{(i)} R^{2(k-1)}. \quad (14)$$

Для определения коэффициентов разложений  $a_k^{(i)}, b_k^{(i)}, c_k^{(i)}$  аппроксимации (14) необходимо подставить в систему интегральных уравнений и потребовать ортогональность полученных соотношений к выбранным базовым функциям. Ограничимся расчётами во втором приближении ( $N=2$ ).

С целью сокращения количества варьируемых параметров и упрощения численных расчётов ограничимся приближением малого различия эффективных диаметров возбуждённых  $\sigma_m$  и невозбуждённых  $\sigma_n$  частиц, а также предположением, подтверждённым экспериментально о почти диффузном рассеянии частиц на поверхности капилляра. Введём два малых параметра

$$\left| \frac{\Delta\sigma}{\sigma_n} \right| = \left| \frac{\sigma_m - \sigma_n}{\sigma_n} \right| \ll 1; \quad (1 - \varepsilon_i) \ll 1, \quad i = m, n. \quad (15)$$

В линейном приближении по этим параметрам безразмерные коэффициенты уравнений (11) запишутся в виде:

$$\begin{aligned} G &= G_1 \Delta\varepsilon + G_2 \frac{\Delta\sigma}{\sigma_n}, & \tilde{G} &= G_3 \Delta\varepsilon + G_4 \frac{\Delta\sigma}{\sigma_n}, \\ S &= S_1 \Delta\varepsilon + S_2 \frac{\Delta\sigma}{\sigma_n}, & \tilde{S} &= S_3 \Delta\varepsilon + S_4 \frac{\Delta\sigma}{\sigma_n}, \end{aligned} \quad (16)$$

$$\Delta\varepsilon = \varepsilon_n - \varepsilon_m.$$

Тогда безразмерные кинетические коэффициенты  $G_1, G_3, S_1, S_3$  и  $G_2, G_4, S_2, S_4$ , характеризующие вклад в величины СИД и СИТ поверхностного и столкновительного механизмов соответственно, зависят только от параметра разреженности  $\delta = \delta_n$ .

При промежуточных числах Кн был проведён расчёт кинетических коэффициентов для молекулярной модели твёрдых сфер. Результаты показаны на рис.1-3. В почти свободномолекулярном ( $\delta \ll 1$ ) режиме и режиме со скольжением ( $\delta \gg 1$ ) получены аналитические выражения для этих коэффициентов.

Почти свободномолекулярный режим ( $\delta \ll 1$ ):

$$\begin{aligned} G_1 &= \frac{16}{3\sqrt{\pi}} + 6\delta \ln \delta + 3.24\delta + \dots, & G_2 &= \delta \ln \delta + 0.6158\delta + \dots, \\ G_3 &= -0.438\delta + \dots, & G_4 &= -0.139\delta + \dots, \\ S_1 &= -\frac{32}{3\sqrt{\pi}} - 15\delta \ln \delta - 11.1\delta + \dots, & S_2 &= -\frac{5}{2}\delta \ln \delta - 2.039\delta + \dots, \\ S_3 &= G_1, & S_4 &= G_2. \end{aligned} \quad (17)$$

Режим со скольжением ( $\delta \gg 1$ ):

$$G_1 = \frac{1}{\varphi_{nn}^{(1)}} \left[ \frac{1 + \frac{3}{4}\alpha_1}{1 - \frac{5}{2}\alpha_1\alpha_2} \right] \frac{1}{\delta} + \dots, \quad G_2 = \frac{1}{2\varphi_{nn}^{(1)}} \left[ \frac{\left(1 + \frac{1}{2}\alpha_1\right)(1 - \alpha_3)}{1 - \frac{5}{2}\alpha_1\alpha_2} \right] \frac{1}{\delta} + \dots, \quad (18)$$

$$G_3 = -\frac{13}{8\varphi_{nn}^{(1)}} \left[ \frac{\alpha_1}{1 - \frac{5}{2}\alpha_1\alpha_2} \right] \frac{1}{\delta} + \dots, \quad G_4 = -\frac{7}{4\varphi_{nn}^{(1)}} \left[ \frac{\alpha_1(1 - \alpha_3)}{1 - \frac{5}{2}\alpha_1\alpha_2} \right] \frac{1}{\delta} + \dots. \quad (19)$$

$$S_2 = \frac{1}{2\varphi_{nn}^{(1)}} \left[ \frac{5\alpha_1 + 3\alpha_4}{1 - \frac{5}{2}\alpha_1\alpha_2} \right] \frac{1}{\delta} + \dots, \quad S_4 = -\frac{1}{\varphi_{nn}^{(1)}} \left[ \frac{\alpha_4}{1 - \frac{5}{2}\alpha_1\alpha_2} \right] \frac{1}{\delta} + \dots, \quad (20)$$

$$S_1 = O(\delta^{-2}), \quad S_3 = O(\delta^{-2}), \quad (21)$$

$$\alpha_1 = \frac{v_{nn}^{(2)}}{v_{nn}^{(5)}}, \quad \alpha_2 = \frac{v_{nn}^{(2)}}{v_{nn}^{(1)}}, \quad \alpha_3 = \frac{v_{nn}^{(4)}}{v_{nn}^{(3)}}, \quad \alpha_4 = \frac{v_{nn}^{(1)}}{v_{nn}^{(5)}}.$$

### Обсуждение результатов

Решение кинетических уравнений (6) подтверждает качественный вывод о том, что СИД однокомпонентного газа возможен только в ограниченных системах, в то время как СИТ имеет место и в безграничном газе. С учётом выражений (20) в гидродинамическом режиме ( $\delta \rightarrow \infty$ ) получаем следующую формулу для плотности теплового потока:

$$Q = \frac{p\bar{v}}{2\sqrt{\pi}} \Gamma_m \left[ \frac{v_{nn}^{(1)}(\chi_3 - \frac{3}{2}\chi_1) - \frac{5}{2}v_{nn}^{(2)}\chi_1}{v_{nn}^{(1)}v_{nn}^{(5)} - \frac{5}{2}v_{nn}^{(2)}v_{nn}^{(2)}} \right] \frac{\Delta\sigma}{\sigma_n}. \quad (22)$$

Заметим, что точно такое же выражение получается для плотности теплового потока из решения кинетического уравнения для безграничного пространственно-однородного газа.

Если пренебречь членами, пропорциональными частоте  $v_{mn}^{(2)}$  (для модели твёрдых сфер  $\alpha_1 \approx 0.07$  и  $\alpha_2 \approx 0.1$ ), то в случае типичного для разреженных газов неоднородного уширения ( $\Gamma \ll k\bar{v}$ ) выражение (22) упрощается:

$$Q = \frac{2\sqrt{\pi}p\bar{v}\Omega}{v_{mn}^{(5)}} \left( \frac{|G_{mn}|}{k\bar{v}} \right)^2 \left[ \frac{3}{2} - \left( \frac{\Omega}{k\bar{v}} \right)^2 \right] \frac{\Delta\sigma}{\sigma_n} \exp \left[ - \left( \frac{\Omega}{k\bar{v}} \right)^2 \right]. \quad (23)$$

В случае однородного уширения ( $\Gamma \gg k\bar{v}$ ) имеем  $\chi_3 = 1.5\chi_1$  и, следовательно, СИТ является эффектом второго порядка, величина которого пропорциональна частоте  $v_{ij}^{(2)}$  (порядка эффекта Дюфура). Отсюда следует, что аппроксимирующий интеграл столкновений второго порядка [6], который не содержит члены, пропорциональные  $v_{ij}^{(2)}$ , не даёт корректного описания явления СИТ. Более того, из решения кинетической модели второго порядка следует, что при однородном уширении явление СИТ в безграничном газе не существует.

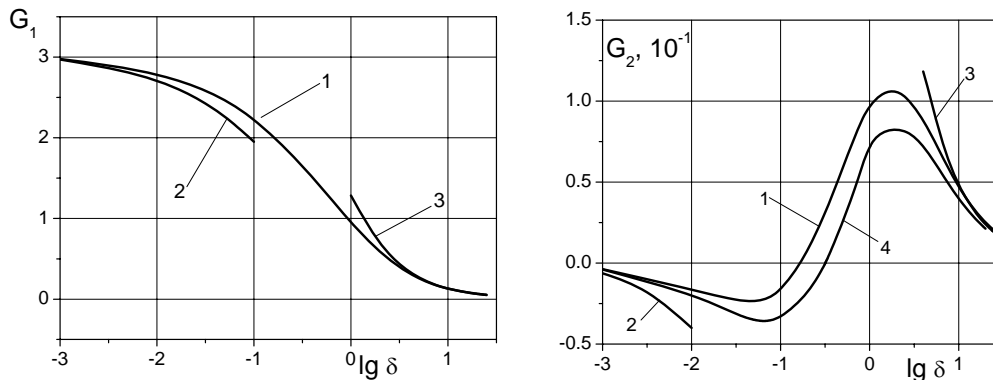


Рис.1 Зависимость кинетических коэффициентов  $G_1$  и  $G_2$  от параметра разреженности  $\delta$ : 1-численный счет, 2-формулы (17), 3-формулы (18), 4-результат работы [5].

Кинетические коэффициенты  $G_1, G_3$  и  $S_1, S_3$ , характеризующие поверхностный механизм дрейфа и теплопереноса соответственно, являются знакопостоянными функциями параметра разреженности  $\delta$  (рис.1-3). Поэтому направления поверхностных составляющих СИД и СИТ определяются знаками разности коэффициентов аккомодации возбуждённых и невозбуждённых частиц  $\Delta\varepsilon$  и отстройки частоты излучения от центра линии поглощения  $\Omega$ , а также от величины параметра отстройки. Если  $\varepsilon_n > \varepsilon_m$ , то в случае однородного уширения направление поверхностной составляющей СИД при  $\Omega > 0$  совпадает с направлением излучения, а при  $\Omega < 0$  - противоположно ему.

В случае неоднородного уширения выражения (11) для потоков газа и тепла запишутся в следующем виде

$$I = nVx \left\{ (G_1 - |G_3|x^2)\Delta\varepsilon + (G_2 - |G_4|x^2)\frac{\Delta\sigma}{\sigma_n} \right\} \exp(-x^2), \quad (24)$$

$$Q = pV x \left\{ (-|S_1| + S_3 x^2) \Delta \varepsilon + (S_2 - |S_4| x^2) \frac{\Delta \sigma}{\sigma_n} \right\} \exp(-x^2) , \quad (25)$$

$$B = 2\sqrt{\pi} r_0 \frac{|G_{mn}|^2}{k\bar{v}} , \quad x = \frac{\Omega}{k\bar{v}} .$$

Из выражения (24) следует, что существуют такие значения параметра отстройки  $x$ , при которых поверхностный СИД отсутствует. Расчёт показывает, что при  $x \approx 3.2$  скорость поверхностного дрейфа изменяет своё направление на противоположное для любых значений параметра разреженности  $\delta$ . Но при такой отстройке величина скорости СИД неизмеримо мала.

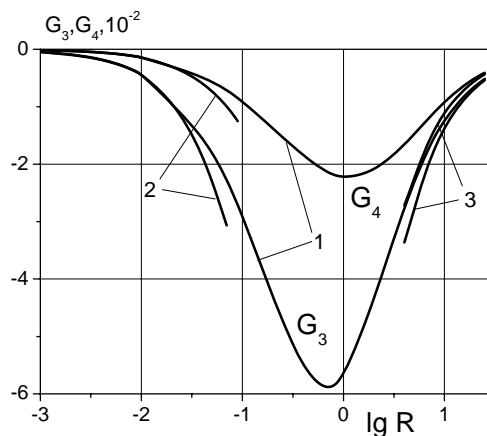


Рис.2 Зависимость кинетических коэффициентов  $G_3$  и  $G_4$  от параметра разреженности  $\delta$ : 1-численный счет, 2-формулы (17), 3-формулы (19).

Зависимости коэффициентов  $G_2$  и  $G_4$ , характеризующих столкновительный механизм СИД, от параметра разреженности  $\delta$  представлены на рис.1,2. Если  $G_4 < 0$  при всех значениях  $\delta$ , то  $G_2$  изменяет свой знак в промежуточном режиме при  $\delta = \delta_{inv} \approx 0.18$ . Коэффициент  $G_2$  отрицателен, если  $\delta < \delta_{inv}$  и положителен, если  $\delta > \delta_{inv}$ . Это означает, что скорость столкновительной составляющей СИД изменяет своё направление при изменении давления газа в капилляре.

В свободномолекулярном и вязком со скольжением режимах результат численного расчёта для коэффициента  $G_2$  хорошо согласуется с асимптотическими формулами (17) и (18), что иллюстрируют кривые 2 и 3 на рис.1. Здесь же представлено решение (кривая 4) кинетической модели второго порядка [5]. Наибольшее различие между результатами данной работы и работы [5] составляет около 37% при  $\delta \approx 2$  ( $Kn \approx 0.5$ ). Зависимость скорости СИД от частоты излучения определяется двумя усреднёнными по скоростям параметрами поглощения  $\chi_1$  и  $\chi_3$ , а не одним  $\chi_1$ , как это следует из элементарного рассмотрения [1], а также из решения модельного кинетического уравнения второго порядка [5].



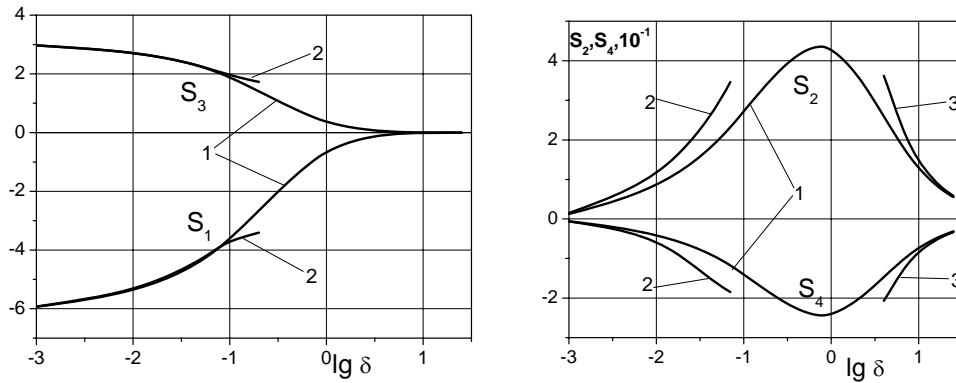


Рис.3 Зависимость кинетических коэффициентов  $S_1$ ,  $S_3$  и  $S_2$ ,  $S_4$  от параметра разреженности  $\delta$ : 1-численный счет, 2-формулы (17), 3-формулы (20).

В случае неоднородного уширения при  $\delta > \delta_{inv}$  частотная зависимость столкновительного СИД имеет дополнительные нули, кроме очевидного  $\Omega = 0$ . В зависимости от величины параметра разреженности  $\delta$  столкновительная составляющая скорости СИД изменяет своё направление при значениях параметра отстройки в интервале  $0.1 < x < 2.3$ . Если  $\Delta\sigma > 0$  и  $\Omega > 0$ , то в случае  $x > 2.3$  столкновительный СИД направлен против распространения излучения при любом давлении газа.

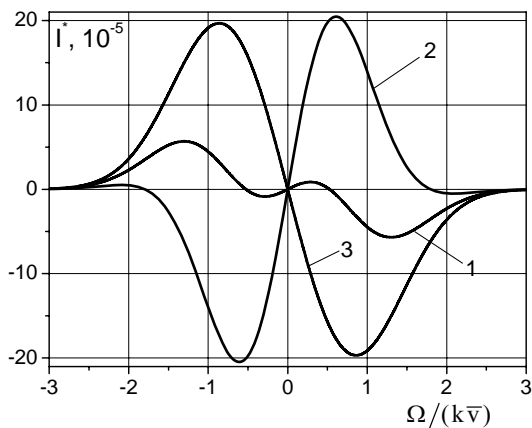


Рис.4. Частотный профиль СИД при  $\xi = -0.1$  ( $\Delta\varepsilon = -0.001$ ,  $\Delta\sigma/\sigma_n = 0.01$ )  
1-  $\delta=1$ , 2 -  $\delta=2$ , 3 -  $\delta=0.7$

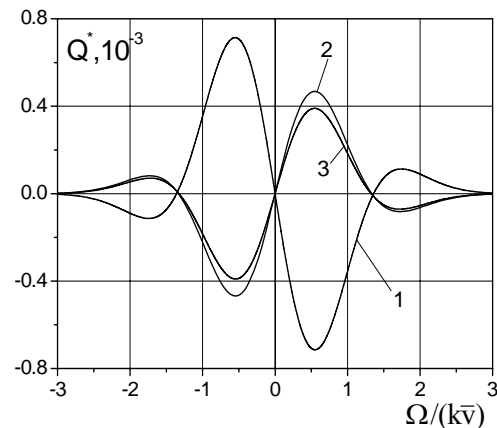


Рис.5. Частотный профиль СИТ при  $\xi = 1$  ( $\Delta\varepsilon = 0.01$ ,  $\Delta\sigma/\sigma_n = 0.01$ )  
1 -  $\delta=1$ , 2 -  $\delta=2$ , 3 -  $\delta=10$

Частотная зависимость полного потока СИД определяется значениями параметров разреженности  $\delta$  и  $\xi = \Delta\varepsilon/(\Delta\sigma/\sigma_n)$ . На рис.4 показаны возможные зависимости безразмерного потока СИД  $I^* = I/(nV)$  от параметра отстройки  $x$  в случае неоднородного уширения. При  $\delta \geq 1$  и  $|\xi| \leq 0.1$  (рис.4, кривые 1,2) частотный профиль скорости СИД имеет три нуля. В свободномолекулярном режиме дрейфа газа, а также при  $|\xi| \geq 1$  зависимость потока СИД от частоты имеет единственный нуль в точном резонансе  $x = 0$ . В промежуточном режиме при  $|\xi| \leq 0.1$  возможны оба варианта в зависимости от величины и знака параметра  $\xi$ .

Направление СИТ также зависит не только от давления газа, знаков отстройки, разности коэффициентов аккомодации и разности эффективных диаметров частиц газа, но также и от величины параметра отстройки. Инверсные значения отстройки для поверхностной и столкновительной составляющих теплового потока, слабо зависящие от параметра разреженности  $\delta$ , имеют значения в интервале  $1.32 \leq x \leq 1.52$ .

В режиме со скольжением ( $\delta \gg 1$ ) величина поверхностного СИТ имеет порядок  $\delta^{-2}$  (21), т.е. в рамках теории Чепмена–Энскога он может быть определён только в барнетовском приближении. Для однородного и неоднородного (в случае  $x \leq 1.3$ ) уширений поверхностный СИТ всегда направлен противоположно поверхностному дрейфу газа. В случае неоднородного уширения при  $x > 1.4$  поверхностный СИТ меняет своё направление и оказывается сонаправленным поверхностной составляющей скорости СИД.

Столкновительный СИТ при однородном и неоднородном (в случае  $x \leq 1.3$ ) уширениях при  $\Omega > 0$ ,  $\Delta\sigma/\sigma_n > 0$  направлен в сторону распространения излучения во всём диапазоне давления газа, а если  $\Delta\sigma/\sigma_n < 0$  - то против излучения. Для неоднородного уширения, когда  $x > 1.5$ , направление столкновительного СИТ меняется на противоположное.

На рис.5 представлена частотная зависимость безразмерного полного потока тепла  $Q^* = Q/(pV)$  при различных значениях параметра разреженности  $\delta$  для неоднородного уширения. Частотный профиль СИТ всегда имеет несколько нулей, положения которых практически не зависят от давления газа. На этом же рисунке показано изменение величины и направления теплового потока при изменении давления газа. При фиксированных значениях параметров  $x$  и  $\xi$  изменение давления газа приводит к изменению направления СИТ (кривые 1 и 2).

В заключение отметим, что подбирая соответствующие значения частотного параметра  $x$ , можно исключить либо поверхностный, либо столкновительный механизмы СИД или СИТ. Это позволит с хорошей точностью определить параметры взаимодействия частиц с поверхностью и между собой, т.е. коэффициенты аккомодации и сечения взаимодействия возбуждённых и невозбуждённых частиц.

Работа выполнена при финансовой поддержке Российского фонда фундаментальных исследований (грант № 06-01-00594).

## Литература

- [1] Гельмуханов Ф.Х., Шалагин А.М. Светоиндуцированная диффузия газов. Письма в ЖЭТФ. 1979. т. 29, №12. с.773 -776.
- [2] Ghiner A.V., Stockman M.I., Vaksman M.A. Surface light-induced drift of a rarefied gas. Phys. Lett. 1983. Vol. 96A, No 2. pp. 79-85.
- [3] Чермянинов И.В., Черняк В.Г. Скольжение газа в поле оптического излучения. Инж.-физ. журн. 1988. т.55, №6. с. 906-909.
- [4] Ваксман М.А., Гайнер А.В. Теория дрейфа плотного взаимодействующего со стенками газа при избирательном по скоростям возбуждении ЖЭТФ. 1985. Т. 89, № 1. с. 41-49.
- [5] Черняк В.Г., Винтовкина Е.А., Чермянинов И.В. Светоиндуцированный дрейф однокомпонентного газа в капилляре. ЖЭТФ. 1993. т. 103, №5. с.1571-1583.
- [6] McCormack F.J. Construction of linearized kinetic models for gaseous mixtures and molecular gases. Phys. Fluids. 1973. Vol.16, No 12. pp.2095-2106.
- [7] Раутиан С.Г., Смирнов Г.И., Шалагин А.М. Нелинейные резонансы в спектрах атомов и молекул. Наука, Новосибирск, 1979.
- [8] Михлин С.Г. Вариационные методы в математической физике, Наука, Москва, 1970.